

## SDC-causing Error Detection and Mitigation Based on Failure Rate Prediction without Fault Injection

Moona Yakhchi<sup>1</sup>, Mahdi Fazeli <sup>2\*</sup>, Seyed Amir Asghari Toochari<sup>3</sup>

1. Phd Student, Department of Computer, Borujerd Branch, Islamic Azad University, Borujerd, Iran, [m.yakhchi@iaub.ac.ir](mailto:m.yakhchi@iaub.ac.ir)
2. Associate Professor, School of Information Technology, Halmstad University, Halmstad, Sweden, (Corresponding Author) [mahdi.fazeli@hh.se](mailto:mahdi.fazeli@hh.se)
3. Assistant Professor, Electrical and Computer Engineering Department, Kharazmi University, Tehran, Iran. [asghari@khu.ac.ir](mailto:asghari@khu.ac.ir)

### Abstract:

**Introduction:** Reducing the size of processing components and increasing the probability of failure even in ordinary components maintaining reliability has become a serious challenge of today's computer systems. The soft errors can lead to silent data corruption which seriously compromises the reliability of a system. The Silent data corruption is a fault that affects running software and leads to incorrect output. Detecting silent data corruption needed a profile of the instructions causing the silent data corruption to decide which instructions to be protected. Current approaches by machine learning algorithms predict the occurrence rate of silent data corruption for each instruction. While most of the existing algorithms suffer from inaccuracy. Most current detection techniques require sufficient data from fault injection for training, which is difficult to achieve due to high resource consumption, such as execution time and code size costs. However, as technology is downscaling toward Nano-scale sizes, multiple-bit soft errors are emerging as an important reliability challenge. Therefore, identifying and determining vulnerable points in the presence of fault has so important.

**Method:** Traditional solutions based on redundancies are very expensive in terms of chip area, energy consumption, and performance. Consequently, providing low cost and efficient approaches to cope with SDCs has received researchers' attention more than ever. Hence the lack of a high-precision method without fault injection becomes a research challenge. Utilizing fault injection methods in complex systems is costly; therefore, in identifying silent data corruptions, a method based on machine learning algorithm is used, which is not necessary to inject fault in all software. Multi-bit faults and silent data corruptions with instruction sources are also considered. For this goal, we have proposed the M5rule decision tree model to detect the silent data corruption error by calculating the importance of the instruction feature for the vulnerability. Then we have used the error detection method by copying the critical instructions with sort.

**Results:** Finally, we evaluated our model on Mibench benchmarks with multiple test programs. The results show an overhead of 58 % with data silent corruption coverage rate of about 99%.

**Discussion:** In order that in this paper not only the single-bit fault but also multiple-bit fault has been considered. In addition, fault had been injected into instruction and data. Consequently, the evaluation results show that our method achieves a better detection accuracy compared to other state-of-the-art methods.

**Keywords:** Silent Data Corruption, Fault Injection, Soft Errors, Multi-Bit Fault, Machin Learning.

## تشخیص و کاهش خرابی ساکت داده براساس پیش‌بینی نرخ رخداد خرابی بدون تزریق اشکال

دوره سوم، زمستان ۱۴۰۱  
شماره چهارم، صص: ۱-۱۳

تاریخ دریافت: ۱۴۰۱/۰۷/۱۶  
تاریخ پذیرش: ۱۴۰۱/۰۸/۲۴

مونا یخچی<sup>۱</sup>، مهدی فاضلی<sup>۲\*</sup>، سید امیر اصغری توچانی<sup>۳</sup>

۱. دانشجوی دکتری، گروه کامپیوتر، واحد بروجرد، دانشگاه آزاد اسلامی، بروجرد، ایران. [m.yakhchi@iaub.ac.ir](mailto:m.yakhchi@iaub.ac.ir)

۲. دانشیار، گروه کامپیوتر، دانشکده فناوری اطلاعات، دانشگاه هالمستاد، هالمستاد، سوئد. (نویسنده مسئول) [mahdi.fazeli@hh.se](mailto:mahdi.fazeli@hh.se)

۳. استادیار، گروه کامپیوتر، دانشکده مهندسی برق و کامپیوتر، دانشگاه صنعتی خوارزمی، تهران، ایران. [asghari@khu.ac.ir](mailto:asghari@khu.ac.ir)

**چکیده:** خرابی ساکت داده (SDC) به‌طور جدی قابلیت اطمینان یک سیستم را به مخاطره می‌اندازد. رویکردهای فعلی با استفاده از یادگیری ماشین نرخ رخداد SDC برای هر دستورالعمل را پیش‌بینی می‌کنند. در حالی که اکثر آن‌ها فاقد دقت مناسب و نیازمند مجموعه داده برای آموزش هستند و به دلیل مصرف منابع زیاد دستیابی به آن‌ها دشوار است. از سوی دیگر نرخ رخداد اشکالات چندبیتی در قطعات نیمه هادی افزایش چشمگیری داشته‌اند. لذا تشخیص دستورهای آسیب‌پذیر در حضور اشکال اهمیت یافته‌است. اما خلاء تحقیقات موجود عدم وجود یک روش نرم‌افزاری با دقت بالا بدون نیاز به تزریق اشکال است؛ به طوری که تشخیص اشکال در SDC با منشأ داده و دستورالعمل مورد بررسی قرار بگیرد. بدین منظور، در این پژوهش با محاسبه نرخ رخداد SDC برای هر دستورالعمل‌ها، مدل درخت تصمیم‌گیری M5rule پیشنهاد گردیده‌است. سپس از روش تشخیص خطا، با کپی کردن دستورالعمل‌های حیاتی به‌وسیله مرتب‌سازی استفاده شده و در نهایت مدل ارائه شده بر روی معیار Mibench با برنامه‌های آزمایشی متعدد ارزیابی گردیده‌است. نتایج ارزیابی نشان می‌دهد روش ارائه شده در مقایسه با سایر روش‌های پیشرفته به دقت تشخیص بهتری با سربار در حدود ۹۹ درصد برای ۵۸ درصد نرخ پوشش SDC رسیده‌است.

**واژه‌های کلیدی:** خرابی ساکت داده، تزریق اشکال، خطاهای نرم، خطاهای چندبیتی، یادگیری ماشین.

## ۱. مقدمه

روند ارتقاء فناوری امکان کاهش اندازه ترانزیستورها امکان قرار گرفتن میلیون‌ها ترانزیستور در کنار هم را در دستگاه‌هایی که در دامنه گیگاهرتز کار می‌کنند و از منابع ولتاژ پایین تغذیه می‌شوند، فراهم می‌کند با این حال، به دلیل محدودیت‌های حاشیه نویز و کاهش اندازه قطعات در مدارها منجر به کاهش قابلیت اطمینان<sup>۱</sup> می‌شود. خطاهای نرم<sup>۲</sup> عمدتاً به دلیل رخداد های واژگونی<sup>۳</sup> هستند که در اثر تابش<sup>۴</sup>، نویزهای الکترومغناطیسی<sup>۵</sup> و اشکالات برق<sup>۶</sup> ایجاد می‌شوند. این نوع خطاها بسیار جدی هستند و می‌توانند عملکرد یک برنامه را با پیامدهای قابل توجهی مختل کنند. برخلاف خطاهایی که در هنگام طراحی یا ساخت رخ می‌دهد، نمی‌توان رفتار خطاهای نرم را از قبل پیش‌بینی کرد و تأثیر آن‌ها بر عناصر سیستم مانند ثابت‌ها<sup>۷</sup> کاملاً تصادفی است [۱].

از سوی دیگر سیستم‌های تعبیه‌شده<sup>۸</sup> به‌وفور مورد استفاده قرار می‌گیرند و دامنه کاربرد آن‌ها از سیستم‌های سرگرمی تا ماشین‌آلات صنعت و سیستم‌های ایمنی است. این افزایش استفاده به دلیل روند رو به رشد تکنولوژی در کاهش اندازه ویژگی ترانزیستورها و کاهش ولتاژهای تغذیه بوده است. با کاهش اندازه ویژگی ترانزیستورها، ترانزیستورهای بیشتری را می‌توان در یک منطقه مشابه قرارداد و ریزپردازنده‌های<sup>۹</sup> قوی‌تر و اغلب سریع‌تر ایجاد کرد.

روند خطاهای نرم را می‌توان در سطح سیستم به دو دسته طبقه‌بندی کرد [۲]: (۱) خطای جریان کنترل<sup>۱۰</sup>، که به هرگونه انحراف از جریان کنترل صحیح یک برنامه اشاره دارد. (۲) خطای داده<sup>۱۱</sup>، این خطاها به هرگونه دستکاری داده‌ها ناشی از خطاهای گذرا<sup>۱۲</sup> اشاره دارد. اگر داده‌ها محافظت نشوند، چنین خطاهایی ممکن است منجر به خرابی سیستم شود.

**خطای جریان کنترل:** هنگامی رخ می‌دهد که پردازنده دستورالعمل‌های غیرمنتظره‌ای را اجرا می‌کند و سپس آن را از جریان صحیح برنامه منحرف می‌کند. بنابراین، برنامه به یک مکان نادرست پرش می‌کند و توالی اجرا را تغییر می‌دهد که ممکن است منجر به رفتار غیر قابل پیش‌بینی سیستم شود.

**خطای داده:** این خطا انحراف از خروجی صحیح است هنگامی که یک اشکال تک‌بیتی یا چندبیتی در زمان پردازش داده‌ها اتفاق می‌افتد. به عبارت دیگر این خطا در داده آشکار می‌شود. نتایج سیستم به عنوان خروجی صحیح، خرابی/قطع، SDC طبقه‌بندی شده است.

- خروجی صحیح: این خطاها هیچ تأثیری در نتیجه برنامه ندارند. آن‌ها ممکن است در طول اجرای برنامه پوشانده شوند یا راهی برای تأثیر بر نتایج خروجی پیدا نکنند [۳-۶].
- خرابی/قطع: هنگامی که یک خطای نرم باعث می‌شود سیستم وارد حالتی شود که در آن به هیچ رویدادی پاسخ ندهد، از آن به عنوان وضعیت خرابی/قطع یاد می‌شود [۳-۶].

- SDC: خرابی ساکت داده به خطاهایی در داده‌های کامپیوتری اطلاق می‌شود که در طول خواندن، نوشتن، انتقال، ذخیره‌سازی یا پردازش اتفاق می‌افتد و به شکل غیر عمدی داده اصلی را تغییر می‌دهد. در حالت کلی، وقتی خرابی داده‌ای اتفاق می‌افتد، فایلی که شامل داده است توسط سیستم یا نرم‌افزاری استفاده می‌شود نتیجه غیر قابل انتظاری تولید می‌کند و محدوده نتیجه بین از دست دادن داده کم تا شکست سیستم است [۳-۶].
- بنابراین، ایجاد یک مدل تشخیص SDC برای افزایش قابلیت اطمینان و امنیت سیستم بسیار مهم است در سال‌های اخیر، تعدادی رویکرد برای شناسایی دقیق و کارآمد خطاهای SDC توسعه یافته است. به‌طور سنتی، تزریق خطا<sup>۱۳</sup>، عملوند مقصد دستورالعمل‌ها را به‌طور تصادفی تغییر می‌دهد و سپس نتیجه اشتباه را به عنوان خطاهای SDC شناسایی می‌کند [۳-۶].

SDC مسبب خطاهایی است که در برنامه پخش شده و منجر به خروجی نادرست می‌گردد و به این ترتیب می‌توان با استفاده از شاخص‌های تشخیص خطا یا بررسی برنامه از رویداد آن جلوگیری کرد. یک تشخیص‌دهنده، سازگاری متغیرهای برنامه را بررسی می‌کند و در صورت عدم سازگاری، دستور خاتمه برنامه را صادر می‌کند [۱].

با توجه به این رویکردها، چالش مهم این است که چگونه متغیرهایی از برنامه با پوشش SDC بالا و بودجه سر بار کارایی<sup>۱۴</sup> مشخص شناسایی و محافظت شوند. یک راه شناسایی متغیرها برای حفاظت در نرم‌افزارها، استفاده از تزریق اشکال است که مرتباً برنامه تحت تأثیر تقلید اشکالات سخت‌افزاری قرار می‌گیرد. سپس نتایجی که منجر به تولید SDC می‌گردند، مطالعه می‌شوند. اجرا این روش‌ها برای به دست آوردن تخمین چشم‌گیر نیازمند تعداد زیادی تزریق اشکال است که زمان زیادی مصرف می‌کند. مورد دیگر با تزریق اشکال این است که انطباق نتایج به برنامه و تصمیم‌گرفتن درباره این‌که چه متغیر(هایی) محافظت شوند با توجه به سر بار کارایی تلاش زیادی لازم دارد. بنابراین سعی شده است رویکردی ارائه شود که با تزریق اشکال در یک نرم‌افزار مدل مطلوبی استخراج گردد تا دستورات مستعد SDC مشخص و سپس در دیگر نرم‌افزارها از آن استفاده شود.

به دلیل افزایش نویزها، پرتوهای کیهانی، کاهش اندازه قطعات سخت‌افزاری، استفاده بیشتر از ترانزیستورها اشکالات از حالت تک‌بیتی به سمت چندبیتی افزایش یافته است. تلاش بر این است که علاوه بر بررسی تأثیر اشکالات تک‌بیتی اقدام به بررسی اشکالات چندبیتی نیز شود. از سوی دیگر در پژوهش‌های ارائه‌شده تنها بررسی خرابی داده‌ها تمرکز کرده‌اند. این در حالی است که خرابی دستورات نیز خود اثرات فاجعه‌باری به دنبال دارد. بنابراین در این مقاله اثرات اشکال بر روی داده و دستورات در نظر گرفته می‌شود. با پیشرفت فناوری رویکردهای هوش مصنوعی با دقت بالا به‌وجود آمده‌اند، از این‌رو رویکردهای مورد اشاره در تشخیص دستورها و داده‌های مستعد خرابی استفاده خواهد شد. هدف نهایی این پژوهش تشخیص و کاهش رخداد خرابی ساکت در

هنگ<sup>۱۸</sup> یا SDC). بنابراین، مقاوم‌سازی در برابر خطا یک ویژگی در سکو<sup>۱۹</sup> و نرم‌افزار کاربردی<sup>۲۰</sup> است. باید توجه‌شود که مقاوم‌سازی در برابر خطا احتمال شرطی یک برنامه است به این معنی که با توجه به اینکه اشکال رخ داده‌است با هیچ خرابی مواجه نمی‌شود [۷].

#### ۲.۲. نرخ رخداد SDC

نرخ رخداد SDC بر اساس تعداد اشکالاتی که به کد برنامه تزریق می‌شود و در نهایت تعدادی از آن اشکالات منجر به SDC می‌شوند، محاسبه می‌گردد [۸-۱۱] [۵].

#### ۲.۲. پوشش SDC

میزان پوشش SDC، تعداد SDCهایی است که پس از تزریق اشکال و شناسایی آن‌ها توسط تشخیص‌دهنده پوشش داده می‌شوند و منجر به خروجی نادرست نمی‌گردند [۵].

#### ۴.۲. سربار کارایی<sup>۲۱</sup> و زمان اجرا

سربار کارایی، میزان افت کارایی به علت استفاده از رویکردهای محافظت برنامه در برابر رخداد SDC است. مثلاً در روش‌های دوتایی کردن در ازای هر دستورالعمل مستعد SDC، دستوری که منجر به اجرای دوباره و مقایسه مقادیر برای جلوگیری از رخداد SDC می‌گردد دوتایی می‌شود و سربار کارایی بیش از ۱۰۰ درصد را به همراه دارد [۵، ۶].

کارایی و زمان اجرا به ترتیب از رابطه‌های (۱) و (۲) به دست می‌آیند:

$$Execution\ time = \frac{CPI^{22} \times Instruction\ time}{Frequency} \quad (1)$$

$$Performance = \frac{1}{Execution\ time} \quad (2)$$

#### ۵.۲. تکرار داده

تکنیک تکرار داده‌ها<sup>۲۲</sup> رایج‌ترین روش نرم‌افزاری برای تحمل خطای سخت‌افزاری پیاده‌سازی شده توسط نرم‌افزار است که از ویژگی تصادفی بودن خطاهای نرم استفاده می‌کند؛ زیرا همان خطا مکرر رخ نمی‌دهد. مفهوم اساسی برای تکنیک تکرار داده‌ها این است که داده‌ها را کپی کرده و دو نسخه داده را در طول زمان اجرای برنامه نگه‌داشته. داده‌های اصلی نسخه اصلی را با داده‌های نسخه سایه مقایسه می‌شود. هنگامی که یک خطا رخ دهد تکنیک بازبایی فراخوان می‌شود. این تکنیک‌ها به‌طور گسترده‌ای برای مزایای آن در اجرای انعطاف‌پذیر و عمومی مورد استفاده قرار گرفته‌اند.

#### ۶.۲. مدل درختی M5

مدل‌های تصمیم درختی<sup>۲۳</sup> انواع مختلف دارد. هنگامی که خروجی یک درخت، یک مجموعه گسسته از یک مجموعه مقادیر ممکن است، به

سیستم‌های نرم‌افزاری است. رسیدن به این هدف یک فرآیند پنج مرحله‌ای شامل، تزریق اشکال، جمع‌آوری اطلاعات، آموزش، تشخیص داده و دستورات مستعد SDC و در نهایت بهبود پوشش اشکالات منجر به SDC خواهد بود. در بحث تزریق اشکال سه مسئله مدنظر قرار خواهد گرفت. اولین مسئله که پیش از این کمتر مورد توجه واقع شده، خطاهای چندبیتی است. در دنیای امروز احتمال رخداد خطاهای چندبیتی به شدت افزایش یافته‌است. به همین دلیل توجه به این دسته از خطاها بسیار حائز اهمیت است. مسئله دیگر توجه به اشکالات در دستورالعمل است. در پژوهش‌های صورت‌گرفته تمرکز بر روی اشکال خطا در داده بوده‌است. در این مقاله تزریق اشکالات در دستورالعمل را نیز مدنظر قرار خواهد گرفت. مسئله آخر حجم تزریق اشکال است. هدف این است که تنها به بخشی از برنامه‌ها تزریق اشکال شود تا در سیستم‌های نرم‌افزاری دیگر بدون تزریق اشکال از آن استفاده گردد.

جمع‌آوری اطلاعات با نظارت و کنترل برنامه تحت اجرای آزمایشی صورت خواهد گرفت. پس از تزریق اشکال به برنامه با جمع‌آوری اطلاعات رفتاری برنامه، داده‌های لازم جهت مرحله بعدی فراهم خواهد شد. نکته قابل توجه در این خصوص این است که در هر اجرا تنها یک تزریق اشکال، یک‌بیتی یا چندبیتی، بر روی برنامه صورت می‌گیرد. روش‌های هوشمند قادر به یافتن پاسخ نزدیک به بهینه در زمانی کوتاه هستند. استفاده از این روش‌ها باعث افزایش دقت برای رسیدن به پاسخ بهینه خواهد شد. بنابراین از مجموعه داده جمع‌آوری شده در مرحله قبل جهت آموزش یک روش هوشمند استفاده خواهد شد. بدون شک برای کاهش خرابی ساکت یک گام کلیدی تشخیص داده و دستورات مستعد SDC خواهد بود. در این مرحله با استفاده از روش آموزش دیده‌شده در مرحله قبل اقدام به تشخیص داده و دستورات مستعد SDC می‌شود. نکته حائز اهمیت در ایده پیشنهادی این پژوهش عدم نیاز به اجرای آزمایشی تمامی برنامه‌ها خواهد بود. به عبارت دیگر پس از آموزش ماشین براساس مجموعه داده جمع‌آوری شده، ماشین قادر به تخمین نرخ رخداد<sup>۲۴</sup> دستورات مستعد SDC خواهد بود.

پس از تخمین نرخ رخداد دستورات مستعد SDC و سپس مرتب‌سازی مقادیر تخمین زده‌شده با روش‌های نرم‌افزاری نظیر دوتایی کردن<sup>۱۶</sup> اقدام به اجرای مجدد برنامه محافظت‌شده خواهد شد. نتیجه برنامه کاهش نرخ SDC در برنامه است.

#### ۲. معیار

##### ۱.۲. مقاوم‌سازی<sup>۱۷</sup> در برابر خطا

مقاوم‌سازی در برابر خطا به معنی افزایش توانایی تحمل (مقاومت) خطا در زمان رخداد است به طوری که ممکن است یک خطا در برنامه روی نتیجه اثر بگذارد یا نگذارد. در این موضوع مقاوم‌سازی در برابر خطا به افزایش احتمال اینکه نرم‌افزار یک نتیجه خراب، بعد از رخداد یک اشکال سخت‌افزاری نداشته‌باشد گفته می‌شود (به معنی شکست،

آن طبقه بندی<sup>۲۵</sup> درختی گفته می شود. هنگامی که بتوان خروجی درخت را یک عدد حقیقی در نظر گرفت، آن را رگرسیون<sup>۲۶</sup> درختی می نامند. به عبارت دیگر، اگر متغیرهای ورودی به سیستم عددی باشند، از رگرسیون درختی و اگر مطلق و قیاسی باشند، از طبقه بندی درختی استفاده می شود. مدل M5 یک مدل درختی برای پیش بینی صفات عددی پیوسته است که در آن توابع رگرسیونی خطی در برگ های این درخت ظاهر می شوند [۱۲]. فرآیند انشعاب<sup>۲۷</sup> در هر گره بارها تکرار می شود تا به گره پایانی (برگ) برسد که در برگ، مجموع مجذور انحراف از میانگین داده ها حدوداً به صفر می رسد. با این کار درخت بزرگی توسعه پیدا خواهد کرد.

روش های بر مبنای درخت یکی از روش های داده کاوی<sup>۲۸</sup> است که در این روش ها خروجی به صورت یک مدل با سازه درختی با استفاده از داده های ورودی و خروجی است. درخت تصمیم گیری یک ابزار برای پشتیبانی از تصمیم است که از درخت ها برای مدل کردن استفاده می کند. درخت تصمیم به طور معمول در تحقیق ها و عملیات مختلف استفاده می شود. به طور خاص در آنالیز تصمیم، برای مشخص کردن استراتژی که با بیشترین احتمال به هدف برسد به کار می رود. استفاده دیگر درختان تصمیم، توصیف محاسبات احتمال شرطی است. مدل درختی به عنوان ابزاری قدرتمند برای داده کاوی و پیش بینی به صورت عملی و گسترده در شاخه های مختلف علوم مورد استفاده قرار گرفته است. مدل های درختی که در طبقه بندی و رگرسیون درختی استفاده می شوند توسط کوین لان [۱۳] ارائه شده است. تئوری او به صورت یک روش توسعه یافته است. مدل وی در سال ۱۹۹۷ توسط ونگ و ویتن توسعه و M5 نامیده شد [۱۴].

### ۳. پیشینه پژوهش

روش های مورد بررسی در این تحقیق به سه دسته طبقه (دسته) تقسیم می گردند. روش های مبتنی بر مدل سازی، روش های مبتنی بر تزریق اشکال و در نهایت روش های مبتنی بر هوش مصنوعی است. که تنها به بررسی مطالعاتی در راستای مقابله با SDC با روش های مبتنی بر هوش مصنوعی است پرداخته شده است.

#### ۱.۳. روش های مبتنی بر مدل سازی ریاضی

رویکردهای مدل سازی ریاضی از ساختارهای داده ویژه برای مدل سازی پارامترهای اولیه و همچنین مدل انتشار خطاهای نرم در فرایند برآورد نرخ خطای نرم استفاده می کنند. ولی اثرات خطاهای نرم را بیش از حد ارزیابی می کند [۲۳-۱۵].

#### ۲.۳. روش های مبتنی بر تزریق اشکال

رویکردهای تزریق اشکال بر اساس تزریق خطا و شبیه سازی منطقی است و نتایج برآورد نرخ خطای نرم بسیار دقیقی را ارائه می دهند، این

رویکرد به زمان و تلاش زیادی برای دستیابی به نتایج آماری قابل توجه نیاز دارد [۲۴، ۲۵]. برای مثال می توان مطالعات [۳۱-۲۶] [۳] را نام برد.

### ۳.۳. روش های مبتنی بر هوش مصنوعی

لو و همکاران در [۴] [۳۲] دو مدل SDCAuto و SDCtune را برای کمیت سنجی استعداد SDC متغیرهای برنامه و توسعه روش مبتنی بر مدل حفاظت بالای انتخابی متغیرهای مستعد SDC ارائه کرده اند. متغیرهای مستعد SDC آنهایی است که یک اشکال در آن با احتمال بالایی منجر به نتیجه SDC می شود و در نتیجه نیاز به حفاظت دارد. مدل های SDCAuto و SDCtune تنها از تحلیل های پویا و ایستا برای شناسایی متغیرهای مستعد SDC در برنامه بدون نیاز به تزریق اشکال استفاده می کنند، پس زمان زیادی ذخیره می شود. علاوه بر این مدل به کاربر اجازه می دهد تنظیم محافظت با توجه به سربار کارایی و تحمل آن اندازه که تمایل دارند را می دهند. رویکرد این مقاله سه بخش دارد. در ابتدا راهکار ابتکاری شناسایی می شود که به متغیرهای به شدت مستعد SDC برنامه وابسته است. راهکار ابتکاری با استفاده از تزریق اشکال بر روی مجموعه کوچکی از برنامه محک که برای آموزش هدف استفاده می شود، استخراج می شود. سپس این راهکار ابتکاری با تحلیل دستی و الگوریتم یادگیری ماشین برای ساخت مدل جمع می شود. SDCtune به صورت دستی تنظیم می گردد و SDCAuto ها به واسطه مدل اتوماتیک با الگوریتم یادگیری ماشین ساخته شده است؛ بنابراین نیاز به تلاشی از سوی توسعه دهندگان بر روی این بخش نیست. در شناسایی اولیه راهکار ابتکاری در مدل SDCAuto و SDCtune از تزریق اشکال استفاده می شود در حالی که برای برنامه های جدید، مدل احتیاجی به تزریق اشکال ندارند. در این پژوهش خطاهای سخت افزاری گذرا در نظر گرفته شده است و بر روی تشخیص خطا، بیشتر از بازیابی خطا تمرکز شده است. برای بازیابی از یک خطای گذرا از روش های شروع دوباره برنامه از نقطه بازرسی<sup>۲۹</sup> استفاده شده است. SDCAuto و SDCtune برای شناسایی متغیرهای مستعد SDC و برای استخراج تشخیص دهنده خطا برای متغیرها با توجه به سربار کارایی مشخص به کار گرفته شده است. تشخیص دهنده، مقادیر متغیرهای انتخاب شده را در برش عقبی<sup>۳۰</sup> تکرار می کند و مقادیر محاسبه شده تکراری را با مقدار اصلی مقایسه می کند. تشخیص دهنده با استفاده از الگوریتم مستخرج از تزریق اشکال برای استخراج مدل بر روی ۶ برنامه مختلف و با محدوده سربار کارایی از ۱۰٪ تا ۳۰٪ درج و ارزیابی می شود و نتایج پوشش تشخیص خطا به علت SDC با در نظر داشتن سربار کارایی را نشان می دهند.

در مرجع [۳۳] با استفاده از الگوریتم جنگل تصادفی<sup>۳۱</sup> دستورالعمل عادی منجر به SDC را شناسایی و اقدام به استخراج ویژگی های پویا و ایستا برنامه برای شناسایی این دستورها می نمایند. ایده اصلی پیش بینی استعداد SDC، داده های برنامه و سپس انتخاب آن ها با توجه به محدودیت سربار کارایی است. وقتی مدل پیش بینی که بر اساس

در عین حال کاهش مصرف منابع بدون انجام تزریق خطا پیشنهاد کرده‌اند. به‌طور کلی، با توجه به مسئله مصرف زمان، DFRMR دستورالعمل‌های آسیب‌پذیر را بسته به ویژگی‌های کد منبع به جای تزریق خطا شناسایی می‌کند. علاوه بر این، روش به کاربران اجازه می‌دهد تا با توجه به هزینه‌ای که مایل به تحمل آن هستند، تعداد دستورالعمل‌هایی را برای محافظت انتخاب کنند. به‌طور خاص، ابتدا، از تجزیه و تحلیل برنامه برای استخراج ویژگی‌های دستورالعملی که به شدت به SDCها مرتبط هستند، آسیب‌پذیری SDC را بسته به ویژگی‌های دستورالعمل و دستورالعمل‌ها تا حدی با توجه به جزئیات داده شده توسط کاربران محافظت می‌شوند، استفاده شده است و از تزریق اشکال برای جمع‌آوری داده‌ها استفاده شده است.

در مرجع [۳۸] برای شناسایی SDCهای ممیز شناور یک شناسایی‌کننده ارائه کرده‌اند که مبتنی بر شبکه عصبی عمیق است. این مقاله بر روی نرم‌افزارهای HPC انجام شده است و از شبکه عصبی leNet و AlexNet-inspired با کمی تغییرات استفاده شده است. در ابتدا به بررسی خطا در تکرارهای مختلف برنامه پرداخته شده است.

در رویکرد ارائه‌شده مرجع [۳۹] بر روی خروجی SDC تمرکز شده است و آن را خرابی خروجی ساکت می‌خوانند. این رویکردها بر این مشاهده استوار است که، در اغلب کدهای HPC، یک بخشی از خطاهای SDC به صورت طبیعی پوشیده می‌شوند و SOC تولید نمی‌کنند، به همین دلیل خروجی برنامه‌ها حتی در صورت رخداد خطا برای دانشمندان قابل قبول است.

#### ۴. روش تحقیق

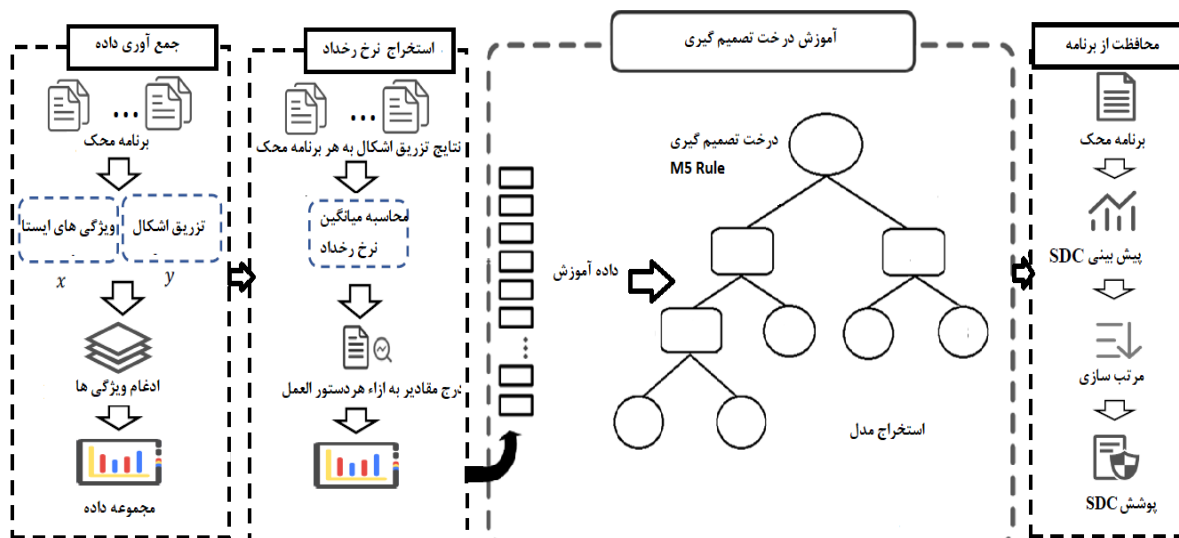
شکل ۱ چارچوب کلی رویکرد ارائه‌شده را نشان می‌دهد. عمدتاً شامل چهار جزء است: (۱) جمع‌آوری داده‌ها. برای به‌دست‌آوردن داده‌های آموزشی مورد نیاز، تجزیه و تحلیل برنامه برای استخراج ویژگی‌هایی که بسیار مرتبط با SDCها هستند انجام می‌شود. تزریق خطا در برنامه‌های محک برای محاسبه آسیب‌پذیری SDC انجام می‌شود. (۲) استخراج نرخ رخداد. پس از مرحله اول میانگینی از نرخ رخداد نتایج استخراج می‌گردد. (۳) آموزش درخت تصمیم‌گیری انتخاب‌شده. ابتدا تزریق اشکال برای استخراج ویژگی دستورالعمل‌ها انجام می‌شود. سپس مدل درخت تصمیم‌گیری M5 Rule برای آموزش پیش‌بینی‌کننده نرخ رخداد SDC هر دستورالعمل اعمال می‌شود.

درخت CART است ساخته‌شده دیگر نیازی به تزریق اشکال برای شناسایی دستورالعمل‌ها نیست. این روش را SCDpredictor نامیده‌اند. برای ساخت درخت، ویژگی‌هایی وزن‌دهی می‌شوند که ارزش بالاتری در ساخت یک درخت پیش‌بینی‌کننده با صحت بالاتر دارند. تزریق اشکال بر روی حافظه و حافظه نهان به دلیل محافظت توسط کد تصحیح خطا در نظر گرفته نشده است. برای منظور کردن اشکالاتی که منجر به اشکال در جریان داده می‌شوند، اشکال در واحد تابعی و ثبات‌ها در نظر گرفته شده است. اشکال در کد دستورالعمل‌ها نیز در نظر گرفته نشده است.

در مرجع [۳۴] روشی برای کاهش تعداد دفعات تزریق اشکال در جهت کاهش هزینه تزریق ارائه شده است که PVIIns نامگذاری شده است. سپس دستورات آسیب‌پذیر برنامه را شناسایی می‌کنند. با تزریق اشکال جزئی داده آموزش برای SVM تولید می‌شود. این مجموعه داده براساس برنامه‌های هدف طبقه‌بندی می‌شوند. تزریق اشکال به صورت تک‌بیت بر روی فایل ثبات یا حافظه در نظر گرفته می‌شود با استفاده از Pin که یک چارچوب ابزار دقیق باینری برای مجموعه دستورالعمل‌های IA-۳۲ و IA-۶۴-۳۲ اقدام به تزریق اشکال جزئی می‌شود [۳۵]. یک اشکال برای هر بار اجرا تزریق صورت می‌گیرد و بر کد دستورالعمل اشکال تزریق نمی‌شود. اگر یک دستورالعمل به حد آستانه آسیب‌پذیری رسید به عنوان دستورالعمل آسیب‌پذیر انتخاب می‌شود. اگر نیاز بود در مرحله بعد طبقه‌بندی، ۵٪ ویژگی جدید اضافه می‌شود. دو دسته از دستورها مهم هستند یکی اتصالاتی مثل متغیرهای عمومی، پارامترها و مقادیر بازگشتی که اشکال در آن‌ها منجر به SDC می‌شود. دیگری دستورالعمل‌های پرشی مثل دستور CMP و ویژگی بعدی ثبات است و حد آستانه آن‌ها بر روی آسیب‌پذیری و حافظه است. نتایج نشان داده‌اند که با ۳۵٪ تزریق اشکال به میانگین ۸۰٪ صحت، ۸۵٪ یادآوری (بازخوانی) و سربار کارایی ۷۸٫۳٪ رسیده‌اند.

فانگ و همکاران در مرجع [۳۶] مدل SDIFI را برای تشخیص آسیب‌پذیری SDC که اهمیت ویژگی دستورالعمل در آسیب‌پذیری SDC با استخراج ویژگی‌های دستورالعمل در برنامه و با در نظر گرفتن تأثیر ویژگی‌های دستورالعمل بر نتایج پیش‌بینی‌شده ارائه نموده‌اند و دستورالعمل‌هایی با آسیب‌پذیری SDC بالا برای محافظت انتخاب می‌شوند. چگونگی ادغام اهمیت ویژگی دستورالعمل در مدل پیش‌بینی آسیب‌پذیری SDC و کشف دستورالعمل آسیب‌پذیری بالا SDC برای حفاظت از اهمیت زیادی برخوردار است.

در مرجع [۳۷] یک مدل سبک وزن به نام افزونگی چند دانه‌ای مبتنی بر رگرسیون جنگل عمیق (DFRMR) برای بهبود نرخ تشخیص خطا و



شکل ۱: چارچوب رویکرد روش پیشنهادی

- در صورت وجود عملوند ۱۰۰ اشکال با شرایط مشابه به هر عملوند تزریق می‌شود.
- در پایان هر تزریق اشکال ذخیره سازی فایل اسمبلی و بروزرسانی اطلاعات مربوط در فایل گزارش صورت می‌گیرد.
- در پایان مراحل تزریق اشکال و اجرای برنامه لازم است تعدادی ویژگی ایستای دیگر استخراج گردد. همانگونه که اشاره شد یکی از فیلدهای ذخیره شده در فایل گزارش، دسته بندی رکوردها به نتایج درست، شکست و SDC است.

#### ۲.۴. نرخ رخداد SDC

- در ادامه بر اساس این فیلد، اطلاعات زیر در فایل دیگری که به آن فایل دستورالعمل گفته می‌شود، ذخیره می‌گردد:
- دستورالعمل، در حقیقت بخش عملگر هر دستورالعمل.
  - نرخ نتایج در ست، نسبت تعداد نتایج در ست به کل تعداد تزریق اشکال صورت گرفته.
  - نرخ SDC، نسبت تعداد SDC به کل تعداد تزریق اشکال صورت گرفته.
  - نرخ SDC با منشأ دستورالعمل، نسبت تعداد SDC که اشکال به بخش عملگر دستورالعمل تزریق گردیده به کل تعداد SDC.
- لازم به ذکر است که کلیه نرخ‌های مذکور به تفکیک اشکال تک بیتی یا چند بیتی نیز محاسبه و به فایل دستورالعمل اضافه گردیده است. هدف از اجرای این بخش پیش بینی نرخ رخداد SDC هر دستورالعمل از کد برنامه بدون تزریق اشکال است که سپس با توجه به سربار کارایی روش نرم افزاری تکرار دستورالعمل، اقدام به انتخاب دستورالعمل‌های مستعد SDC نموده تا با کمترین سربار بیشترین پوشش تشخیص اشکال ایجاد گردد. برای دستیابی به هدف مذکور لازم است ابتدا الگویی برای نرخ رخداد SDC هر دستورالعمل در اختیار داشت. به منظور شناسایی الگوی رخداد SDC دستورالعمل‌های

(۴) محافظت از برنامه. آسیب پذیری SDC دستورالعمل‌های یک برنامه جدید توسط پیش بینی کننده SDC پیش بینی می‌شود. در نهایت دستورالعمل‌ها بر اساس مقادیر پیش بینی شده مرتب می‌گردد و مواردی آسیب پذیرتر برای تکرار انتخاب می‌شوند. در ادامه جزئیات هر بخش مرحله به مرحله تشریح می‌شود.

#### ۱.۴. جمع آوری داده

در این بخش، ویژگی‌های دستورالعمل استخراج می‌گردد. با در نظر گرفتن فرض امکان وجود خطا به دو صورت تک بیتی و چندبیتی در سیستم، خطا بر دستورها و داده‌ها تزریق می‌شود و احتمال رخداد هر نوع خطا از مرجع ابراهیمی سال ۲۰۱۶ [۴۰] پیروی می‌کند. ضرورت بررسی اثر انواع اشکال در یک برنامه در اختیار داشتن اطلاعات کاملی از نوع و محل اصابت اشکال و رفتار برنامه پس از آن است. دسترسی به این اطلاعات از طریق تزریق اشکال صورت می‌گیرد، جمع آوری اطلاعات اشکالات و برنامه با شبیه سازی اشکالات و تزریق هدفمند و تحت کنترل آن به برنامه با توجه به نتایج تأثیرات اشکال که شامل خروجی صحیح، شکست/هنگ و SDC است. اشکالات بر فایل اسمبلی هر برنامه تزریق شده و به دلیل استفاده از کامپایلر LLVM در اکثر مطالعات صورت گرفته در این حوزه این فایل با استفاده از کامپایلر فوق تولید می‌شود. همچنین ابزاری جهت تزریق اشکال به کد اسمبلی طراحی و در پایتون پیاده سازی گردید. به ترتیب از اولین تا آخرین دستورالعمل، به هر عملوند و هر عملگر هر کدام ۱۰۰ اشکال طبق توزیع مرجع [۴۰] تزریق می‌شود که این فرایند در شکل ۳،۴ قابل مشاهده است.

مراحل تزریق اشکال برای اولین تا آخرین دستورالعمل هر یک از برنامه‌های محک به شرح زیر است:

- ۱۰۰ اشکال با توزیع مذکور و با تعیین تصادفی بیت مورد اشکال به عملگر تزریق می‌گردد.

نتایج این یادگیری ماشین در بخش بعدی قابل مشاهده است. علت انتخاب M5 برای تخمین نرخ رخداد SDC هر دستورات عملی ویژگی‌های آن در دسته‌بندی است مثل قابلیت تفسیر و فهم ساده، هرس کردن ویژگی‌هایی که در اشتقاق درخت دخالت ندارند و سادگی در پیاده‌سازی است. موارد ذکر شده باعث بالاتر رفتن سرعت محاسبات می‌گردد. در نهایت باعث کاهش چشم‌گیر میانگین قدرمطلق<sup>۳۶</sup> خطا شده است. در M5 نتایج به صورت قوانین "اگر-آنگاه" ترجمه و ارائه می‌گردند. سپس کلیه فرمولاسیون دسته‌بندی M5 برای برنامه‌های محک استخراج شده و با توجه به تخمین نرخ رخداد SDC اقدام به انتخاب فرمولاسیونی با کمترین مقدار میانگین قدر مطلق خطای قابل مشاهده در روابط (۳) و (۴) به عنوان تابع تخمین نرخ رخداد SDC همان‌طور که در رابطه (۵) مشخص شده است، انتخاب می‌شود:

$$\bar{y}_m = \frac{1}{N_m} \sum_{i \in N_m} y_i \quad (3)$$

$$MAE = \frac{1}{N_m} \sum_{i \in N_m} |y_i - \bar{y}_m| \quad (4)$$

IF Len ≤ 2 THEN

$$PSDC = 0.0002 \times Len + 0.0117 \times Wi + 0.0331 \times Tcorrect - 0.0439 \times Scorrect + 0.0034 \times Sreg$$

ELSE

IF Tcorrect 0.019 AND Cod21 THEN

$$PSDC = 0.0001 \times Cod + 0.0025 \times Pf + 0.0056 \times Sreg + 0.0161 \quad (5)$$

ELSE

IF Cod > 7.5 AND Wi ≤ 0.026 THEN

$$PSDC = 0.0538 \times Wi - 1.9157 \times Scorrect - 0.0024 \times Sreg + 0.0418$$

ELSE

$$PSDC = 0.4675 \times Wi - 0.0075$$

#### ۲.۴. محافظت از برنامه

برای تعیین تعداد دستورات عملی‌ها جهت تکرار با توجه به محدودیت سربار به روشی نیاز است که در عین پوشش بالای SDC کمترین سربار را به سیستم تحمیل کند. از این رو از تکنیک دانه‌بندی دستورات عملی‌ها به ترتیب نرخ رخداد SDC استفاده می‌شود. پیش‌بینی نرخ رخداد SDC به واسطه مدل استخراجی با توجه به ویژگی‌های استخراج شده قبلی از برنامه است. هدف مقاله این است که دیگر نیازی به تزریق اشکال برای تعیین نرخ رخداد SDC در هر برنامه نباشد. به عبارت دیگر بر اساس آزمایشات اولیه بر روی تعدادی از برنامه‌های محک الگویی جهت دستورات عملی‌ها شناسایی گردد که بر اساس آن بتوان در سایر برنامه‌های محک بدون تزریق اشکال و صرفاً بر اساس اطلاعات برنامه و دستورات عملی نرخ رخداد SDC را تخمین زد.

مختلف، اقدام به تزریق اشکال به تعدادی از مجموعه برنامه‌های محک شده است. سپس برای هر دستورات عملی در شرایط مختلف بر اساس نرخ‌های رخداد SDC در برنامه‌های متفاوت یک نرخ میانگین تعریف گردیده است. به عنوان مثال نرخ رخداد جهت دستورات عملی MOV برای عملوندهای دو بیتی و چهار بیتی متفاوت است.

اطلاعات مربوط به دستورات عملی‌ها و کدهای هگزادسیمال آن‌ها در یک پایگاه داده ذخیره شده است. با کمک این پایگاه داده احتمال تبدیل هر یک از دستورات عملی‌های موجود در فایل به یک دستورات عملی مجاز با یک تزریق اشکال تک‌بیتی یا چندبیتی محاسبه گردید. به عنوان مثال فرض کنید دستورات عملی با کد ۱۰۱۰ با تزریق اشکال به با ارزش‌ترین بیت به ۰۰۱۰ تبدیل می‌شود. بر اساس اطلاعات موجود در پایگاه داده وجود یا عدم وجود دستورات عملی مجاز با این کد بررسی می‌گردد. اطلاعات حاصل از این بررسی به فایل دستورات عملی اضافه می‌شود. در ادامه فایل‌های دستورات عملی همه برنامه‌های محک را با یکدیگر ادغام و به ازای هر دستورات عملی یک رکورد ایجاد گردید.

پس از تکمیل فایل دستورات عملی اطلاعات مربوط به هر یک از رکوردهای موجود در فایل گزارش بر اساس این فایل تکمیل می‌گردد. آخرین فیلدی که به فایل گزارش اضافه می‌شود وزن هر دستورات عملی است که بر اساس فایل اسمبلی محاسبه و افزوده می‌گردد. لازم به ذکر است که وزن هر دستورات عملی، نسبت تعداد تکرار هر دستورات عملی به کل تعداد دستورات عملی‌های برنامه باشد. جدول ۱ کلیه ویژگی‌های مستخرج از برنامه‌ها را نشان می‌دهد.

جدول ۱: ویژگی‌های مستخرج از برنامه‌ها که در درخت تصمیم‌گیری استفاده شده اند

نام	توضیح
Cod	کد هگزادسیمال
Len	طول دستور بر حسب بایت (۲بیتی، ۴ بیتی، ...)
Wi	وزن دستور در برنامه
Pf	احتمال تبدیل دستور به یک دستور دیگر در اثر برخورد اشکال
Tcorrect	احتمال خروجی صحیح پس از برخورد اشکال
Scorrect	احتمال خروجی صحیح پس از برخورد اشکال تک بیتی
Sreg	احتمال بروز SDC پس از برخورد اشکال تک بیتی به پارامتر، ثبات

#### ۳.۴. آموزش درخت تصمیم‌گیری

فایل گزارش تولید شده بخش قبلی به عنوان ورودی الگوریتم‌های یادگیری ماشین استفاده می‌شود. هدف تخمین نرخ رخداد SDC با استفاده از ویژگی‌های شرح داده شده است، بخشی بر اساس خروجی‌های ابزار تزریق اشکال و پایگاه داده به دست آمده است و بخش دیگر آن از سطح برنامه جمع‌آوری می‌شود. در این پژوهش جهت تخمین نرخ رخداد SDC هر دستورات عملی از مدل درختی M5 نرم‌افزار WEKA<sup>۳۳</sup> که در دانشگاه Waikato نیوزلند توسعه داده شده، استفاده گردیده است [۴۱]. داده‌ها به شکل اعتبارسنجی<sup>۳۴</sup> متقابل با ۱۰ تا<sup>۳۵</sup> آموزش و آزموده شده‌اند.



## ۵. نتایج و بحث

برای ارزیابی رفتار سیستم‌ها در برابر خطاهای تک‌بیتی و چندبیتی در داده‌ها و دستورالعمل‌ها، ابزاری جدید برای تزریق اشکال در محیط Python و پایگاه داده MySQL طراحی و پیاده‌سازی شده است. به منظور دستیابی به نتایج دقیق‌تر و بدون وابستگی به نوع سیستم، تلاش شده تا برنامه‌های محک از دسته‌های مختلف انتخاب شود تا رفتار آن‌ها در برابر خطاهای گذرا ارزیابی شوند.

### ۱.۵. محیط برنامه

محیط اجرایی مورد استفاده در این پژوهش در جدول ۲ خلاصه شده است.

در ابزار تولیدی اشکالات به هر دو بخش عملوند و عملگر دستورالعمل تزریق می‌شود. این اشکالات به صورت تک‌بیتی و چندبیتی (۲ تا ۶ بیت) بر اساس نتایج محققان [۴۲] و [۴۰] که در شکل ۲ قابل مشاهده است، صورت می‌گیرد. نحوه انتخاب محل اصابت (به عملگر یا عملوند کدام دستور) اشکال به صورت تصادفی و با استفاده از توزیع یکنوا است. در نهایت برای بررسی همه‌جانبه سیستم‌های نرم‌افزاری مجموعه برنامه محک MiBench [۴۳] انتخاب و تحت تزریق اشکال قرار گرفته است. جزئیات برنامه محک مورد استفاده در این بخش پژوهش در جدول ۳ قابل مشاهده است.

جدول ۲: محیط اجرایی

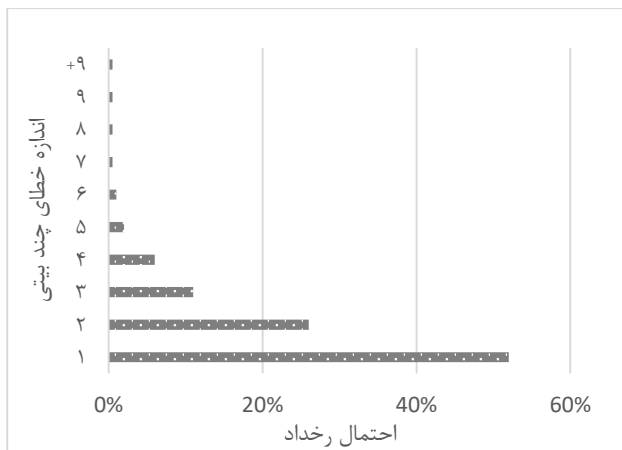
محیط برنامه	
CPU i7 Intel 1.7–2.9 GHz RAM 6 G	سخت افزار
Ubuntu 16.1 Linux 64 bit	سیستم عامل
ابزار تزریق اشکال پیاده‌سازی شده با زبان پایتون	نرم افزار
My sql برای جمع آوری جزئیات عملگرها و عملوندها و کد هگزادسیمال آن‌ها	پایگاه داده

جدول ۳: برنامه محک مورد استفاده در این پژوهش

MiBench			
Auto/Industrial	Network	Telecomm	Other
Q sort	Dijkstra (L)	FFT	DFS

هدف این پژوهش ارائه روشی برای پوشش اشکال‌های یک و چندبیتی بدون تزریق اشکال و با در نظر داشتن سربار کارایی است، لذا اقدام به انتخاب چند برنامه محک برای آزمون شد.

لازم به توضیح است که در روش‌های قبلی چند برنامه محک را به عنوان داده یادگیری با تزریق اشکال مستقیم در نظر گرفته‌اند و چند برنامه محک را بدون تزریق اشکال و به عنوان داده آزمون در نظر گرفته‌اند. اما در این پژوهش با تزریق اشکال به چند برنامه محک، نرخ میانگین رخداد SDC هر دستورالعمل محاسبه شده، سپس بعد از اضافه نمودن این میانگین برای هر دستورالعمل به برنامه‌های محک اقدام به استفاده از یادگیری ماشین شد.



شکل ۲: توزیع خطاهای چندبیتی در SRAMهای ۴۵ نانومتر [۴۰].

سپس با استفاده از مرتب‌کردن دستورها مبتنی بر نرخ رخداد SDC پیش‌بینی شده توسط درخت تصمیم‌گیری M5 rule اقدام به مشخص نمودن مجموعه دستورها می‌شود که تنها، خطای داده مد نظر قرار گرفته شده است.

جدول ۴: معیارهای ارزیابی درخت M5 در ازای هر یک از برنامه‌های محک

برنامه محک	ضریب وابستگی	میانگین قدر مطلق خطا (برحسب درصد)	خطای جذر میانگین مربعات
DFS	۰.۹۵۴۳	۰.۲۰	۰.۰۰۴۵
Dijkstra	۰.۹۴۷۴	۰.۱۷	۰.۰۰۵۸
Fft	۰.۹۱۵۱	۰.۱۴	۰.۰۰۴۹
Qsort	۰.۸۸۱۱	۰.۱۸	۰.۰۰۴۷

همانگونه که در جدول ۴ مشاهده می‌شود، ضریب همبستگی<sup>۳۷</sup> در همه موارد بالاتر از ۰.۸۸ است و میانگین قدر مطلق خطا حداکثر ۰.۱۷٪ است. با توجه به نکات ذکر شده همچنین سایر معیارهای ارزیابی موجود در جدول ۴ می‌توان نتیجه گرفت، درخت M5 دارای توانایی پیش‌بینی با دقت بالا به‌عنوان یک روش یادگیری ماشین است.

علاوه بر این، چهار روش پیشرفته به‌عنوان روش‌هایی برای مقایسه دقت پیش‌بینی نرخ رخداد انتخاب گردید که در جدول ۵ قابل مشاهده هستند، از جمله SEDSVR [۴۴] برای پیش‌بینی آسیب‌پذیری SDC توسط مدل SVR، SDCPpredictor [۳۳] برای شناسایی دستورالعمل‌ها با آسیب‌پذیری SDC توسط SDIFI، Random Forest [۳۶] و DFRMR [۳۷] یک مدل رگرسیون جنگل عمیق بهبودیافته است و ثابت شده است که روش پیشنهادی از اکثر روش‌های عمومی مبتنی بر یادگیری عمیق بهتر عمل می‌کند و نیاز به تنظیم مجدد توسط کاربر و مبتنی بر برنامه‌های مختلف را ندارد.

برای ارزیابی بهتر عملکرد الگوریتم، از شاخص ارزیابی کلاسیک ریشه میانگین مربعات خطا<sup>۳۸</sup> برای انتخاب پارامترهای SED-SVR، SDCPredictor، DFRMR و SDIFI استفاده می‌شود. هرچه امتیاز کمتر باشد، دقت پیش‌بینی بالاتر است. پارامترهای مورد استفاده در همه مدل‌ها با جستجوی شبکه یا آزمایش تنظیم می‌شوند. در SEDSVR

ضریب مجازات 1.0، نوع هسته rbf و پارامتر هسته آن 0.003 است. SDCPpredictor بر اساس جنگل تصادفی از 800 درخت تشکیل شده است. در حداکثر عمق 8 و نرخ یادگیری 0.09، در روش SDIFI، DFRMR، پنجره ها 5، تلورانس 0 است. در روش SDIFI، دقت پیش بینی را با تنظیم پارامترهای تعداد برگ و نرخ یادگیری بهبود می دهند. اما روش پیشنهادی این پژوهش نیازمند تنظیم هیچ پارامتری نیست.

جدول 5: عملکرد خطای جذر میانگین مربعات برنامه های آزمایشی

معیار	محک	SED-SVR	SDC Predictor	DFRMR	SDIFI	روش پیشنهادی
خطای جذر میانگین مربعات	DFS	0.1503	0.0856	0.0883	0.0639	0.0045
	Dijkstra	0.1991	0.1499	0.1391	0.1222	0.0058
	Fit	0.3495	0.3982	0.3442	0.3018	0.0049
	Qsort	0.2006	0.0925	0.1615	0.0466	0.0047



شکل 3: میانگین پوشش اشکال در سطوح دانه بندی مختلف و سربار کارایی روش پیشنهادی با تکرار کامل

در شکل 3 مشاهده می شود که تکنیک دوتایی کامل به طور میانگین حدود 80٪ سربار کارایی را به سیستم تحمیل می کند در حالی که این پژوهش موفق شده با میانگین 58٪ سربار کارایی حدود 99٪ یک پوشش اشکال کامل را به دست آورد. از سوی دیگر کمترین میزان پوشش اشکال در بین نتایج کار این پژوهش 43.15٪ پوشش با سربار 24٪ است به این معنی که در مقایسه با دوتایی کامل با تحمیل حدود یک چهارم سربار کارایی نزدیک به نصف پوشش اشکال به دست آمده است. باید متذکر شد که در این پژوهش تنها به پوشش اشکالات خطای داده پرداخته شده و اشکالات خطای کنترل جریان به دلیل روش های مقابله ارائه شده خارج از بررسی این پژوهش است. سربار کارایی دوتایی کردن کامل نیز با در نظر گرفتن این فرض می باشد تا عدالت در مقایسه رعایت گردد.

در مرحله بعد، به طور تصادفی 3000 خطا بر 4 محک تزریق و قابلیت تشخیص خطا مدل پیشنهادی را با پوشش SDC و سربار کارایی حاصل از تشخیص خطا SDC ارزیابی می گردد. آسیب پذیری SDC پیش بینی شده دستورالعمل ها رتبه بندی می شود، اولین دستورالعمل ها بر اساس دانه بندی 10، 20 و 30 درصد به ترتیب برای افزودنی انتخاب و پوشش SDC و سربار کارایی به دست آمده با روش ارائه شده DFRMR و SDIFI مقایسه می گردد [13].

مطالعه Fang و همکارانش [36] با نام SDIFI و Li و همکارانش [37] با نام DFRMR بسیار به کار این پژوهش شبیه است. زیرا از هوش مصنوعی درخت تصمیم گیری LightGBM استفاده کرده اند و محیط شبیه سازی و برنامه های محک مورد استفاده همانند پژوهش پیش رو است. لذا در مقایسه با کار Fang و همکارانش و Liu و همکارانش که جزو تلاش هایی است که منجر به نتایج مطلوبی شده است. صرف نظر از خلأ بررسی خطاهای چندبیتی در کنار خطاهای تکبیتی، در این دو مقاله همچون پژوهش پیش رو ارزیابی بر اساس سطوح دانه بندی 10٪، 20٪ و 30٪ بالاترین نرخ رخداد بوده، در جدول 6 قابل مشاهده است.

همانگونه که مشاهده می شود هر دو کار در دانه بندی 30٪ با تحمیل سربار کمتر موفق به ارائه پوشش اشکال مناسبی شده اند اما در مقایسه با کار این پژوهش در دانه بندی های مشابه در حالی که پوشش بهتری داشته است سربار کارایی کمتری نیز تحمیل نموده است. با این تفاوت که روش ارائه شده دیگر نیازی به تزریق اشکال مجدد ندارد و در ضمن کلیه اشکال تک و چندبیتی و اشکالات به کلیه داده ها و دستورالعمل ها مدنظر بوده اند. باید متذکر شد یکی از فاکتورهایی که در این مطالعه بررسی نشده است امکان تبدیل یک دستور معتبر به یک دستور معتبر دیگر در صورت برخورد انواع خطا به بیت های مختلف است. ممکن است یک دستور که افزودنی بالایی هم داشته است در صورت برخورد خطا به یک دستور نامعتبر تبدیل گردد و برنامه دچار خرابی یا شکست گردد. که در پژوهش حال حاضر فاکتور احتمال

جدول ۶: نتایج روش‌های قابل مقایسه

ایده پیشنهادی		DFRMR		SDIFI		سطح دانه بندی
سربرار	پوشش SDC	سربرار	پوشش SDC	سربرار	پوشش SDC	
۲۳٫۸	٪۴۳٫۱۵	٪۲۲٫۵	٪۳۹٫۵	٪۲۵٫۱	٪۴۱٫۶	٪۱۰
۳۶٫۳	٪۶۴٫۰۸	٪۴۱٫۲	٪۶۸٫۳	٪۳۶٫۹	٪۷۱٫۳	٪۲۰
۴۷٫۲	٪۸۹٫۳۴	٪۵۰٫۳	٪۸۶٫۲	٪۴۷٫۸	٪۸۸٫۴	٪۳۰

برنامه، میزان استفاده از نتیجه دستورالعمل در برنامه، مکان و حضور یا عدم حضور دستورالعمل در حلقه و ... تخمینی از استعداد SDC هر دستورالعمل به دست آمد. به عبارت دیگر جهت تخمین استعداد SDC دستورالعمل‌های یک برنامه جدید نیازی به تزریق اشکال به برنامه مذکور نیست نتایج تجربی نشان داد که روش ارائه شده از دقت پیش‌بینی آسیب‌پذیری SDC بالاتری نسبت به روش‌های دیگر برخوردار است. در نهایت پوشش خرابی داده ساکت بالاتر و سربرار کارایی کمتری را با دانه‌بندی نرخ رخداد SDC به دست آورد و تحمل خطای بهتری داشت.

## References

- [1] S. A. Asghari, M. Binesh Marvasti, and M. Daneshtalab, "A software implemented comprehensive soft error detection method for embedded systems," *Microprocess. Microsyst.*, vol. 77, p. 103161, Sep. 2020, doi: 10.1016/J.MICPRO.2020.103161.
- [2] S. A. Asghari, H. Taheri, H. Pedram, and O. Kaynak, "Software-based control flow checking against transient faults in industrial environments," *IEEE Trans. Ind. Informatics*, vol. 10, no. 1, pp. 481–490, Feb. 2014, doi: 10.1109/TII.2013.2248373.
- [3] B. Sangchoolie, K. Pattabiraman, and J. Karlsson, "One Bit is (Not) Enough: An Empirical Study of the Impact of Single and Multiple Bit-Flip Errors," *Proc. - 47th Annu. IEEE/IFIP Int. Conf. Dependable Syst. Networks, DSN 2017*, pp. 97–108, Aug. 2017, doi: 10.1109/DSN.2017.30.
- [4] Q. Lu, G. Li, K. Pattabiraman, M. S. Gupta, and J. A. Rivers, "Configurable Detection of SDC-causing Errors in Programs," *ACM Trans. Embed. Comput. Syst.*, vol. 16, no. 3, Mar. 2017, doi: 10.1145/3014586.
- [5] M. Yakhchi, M. Fazeli, and S. A. Asghari, "Investigation of the Effect of Burst Multi-bit Soft Errors on Control Flow and Data Error Behaviors of Embedded Systems," *J. Soft Comput. Inf. Technol.*, vol. 10, no. 2, pp. 68–81, 2021.
- [6] M. Yakhchi, M. Fazeli, and S. A. Asghari, "Silent Data Corruption Estimation and Mitigation Without Fault Injection," *IEEE Can. J. Electr. Comput. Eng.*, vol. 45, no. 3, pp. 318–327, 2022.
- [7] B. Fang, K. Pattabiraman, M. Ripeanu, and S. Gurumurthi, "GPU-Qin: A methodology for evaluating the error resilience of GPGPU applications," *ISPASS 2014 - IEEE Int. Symp. Perform. Anal. Syst. Softw.*, pp. 221–230, 2014, doi: 10.1109/ISPASS.2014.6844486.
- [8] J. Wei, A. Thomas, G. Li, and K. Pattabiraman, "Quantifying the accuracy of high-level fault injection techniques for hardware faults," *Proc. Int. Conf. Dependable Syst. Networks*, pp. 375–382, Sep. 2014, doi: 10.1109/DSN.2014.2.
- [9] Feng Shuguang, Gupta Shantanu, Ansari Amin, and Mahlke Scott, "Shoestring," *ACM SIGARCH Comput.*

تبدیل یک دستور در صورت بروز خطا به دستورالعمل دیگر نیز به عنوان یک ویژگی مد نظر واقع شده است.

در آخر به شکل مختصر می‌توان مقایسه کلی از روش ارائه شده در این پژوهش با دیگر رویکردهای ارائه شده در جدول ۷ مشاهده نمود.

جدول ۷: مقایسه مختصر روش ارائه شده در پژوهش پیش‌رو با روش-

های پیشین	
روش ارائه شده در این پژوهش	روش های پیشین
در نظر گرفتن اشکالات تک بیتی و چند بیتی (تا ۶ بیت)	در نظر گرفتن اشکالات تک بیت
تزریق اشکال به تمام بخش‌های یک برنامه	تزریق تنها به بخشی از برنامه برای مثال فقط به دستورات بارگذاری و ذخیره سازی، به فایل ثبات، دستورات مقصد
شناسایی بدون تزریق اشکال به برنامه جدید	شناسایی دستورات با تزریق اشکال به بخشی از آن برنامه یا کد مشابه
تکرار دستورات مبتنی بر ویژگی های ایستا	تکرار دستورات مبتنی بر ویژگی های ایستا و پویا

## ۶. نتیجه گیری

هدف اصلی این مقاله تشخیص و کاهش SDC بود. بدون شک لازمه دستیابی به یک نتیجه قابل قبول، بررسی جامع تلاش‌های صورت گرفته قبلی و تکمیل آن‌ها با مواردی است که به آن‌ها توجه نشده است. مطالعات و بررسی کارهای پیشین نشان داد که در تلاش‌های صورت گرفته قبلی تمرکز بر روی SDC با منشأ خطاهای تک‌بیتی بوده است. لذا به بررسی اشکالات چندبیتی همراه با تک‌بیتی پرداخته شده است. نکته حائز اهمیت بعدی هدف تزریق اشکال بود، در اغلب مطالعات قبلی تزریق اشکال تنها بر روی بخش از پیش تعیین شده‌ای از داده دستورات، به عنوان مثال دستورات بارگذاری و ذخیره‌سازی صورت گرفته بود و یا بخشی از دستورات به طور کلی کنار گذاشته شده‌اند. اما این مقاله تفاوتی بین دستورات بعنوان هدف تزریق اشکال قائل نشده است و به همه دستورات اشکال تزریق شده است. از سوی دیگر در کارهای پیشین اشکال‌ها تنها به بخش عملوندی یک دستورالعمل تزریق می‌گردید. که این رویه بخشی از استعداد SDC را در یک دستورالعمل نادیده می‌گیرد. با توجه به اینکه با تعیین استعداد SDC دستورالعمل‌های برنامه، کاهش نرخ رخداد خرابی‌ها افزایش خواهد یافت. در نهایت جهت هر دستورالعمل یک سری ویژگی‌های ایستا مشخص شد که در کنار چند پارامتر پویا نظیر وزن دستورالعمل در

- Nucl. Sci., vol. 67, no. 1, pp. 321–327, Jan. 2020, doi: 10.1109/TNS.2019.2959975.
- [25] M.-L. Li, P. Ramachandran, S. K. Sahoo, S. V. Adve, V. S. Adve, and Y. Zhou, "Understanding the propagation of hard errors to software and implications for resilient system design," p. 265, 2008, doi: 10.1145/1346281.1346315.
- [26] V. B. Thati, J. Vankeirsbilck, J. Boydens, and D. Pissort, "Selective Duplication and Selective Comparison for Data Flow Error Detection," 2019 4th Int. Conf. Syst. Reliab. Safety, ICSRS 2019, pp. 10–15, Nov. 2019, doi: 10.1109/ICSRS48664.2019.8987731.
- [27] F. Ayatollahi, B. Sangchoolie, R. Johansson, and J. Karlsson, "A study of the impact of single bit-flip and double bit-flip errors on program execution," Lect. Notes Comput. Sci. (including Subser. Lect. Notes Artif. Intell. Lect. Notes Bioinformatics), vol. 8153 LNCS, pp. 265–276, 2013, doi: 10.1007/978-3-642-40793-2\_24/COVER.
- [28] B. Sangchoolie, F. Ayatollahi, R. Johansson, and J. Karlsson, "A study of the impact of bit-flip errors on programs compiled with different optimization levels," Proc. - 2014 10th Eur. Dependable Comput. Conf. EDCC 2014, pp. 146–157, 2014, doi: 10.1109/EDCC.2014.30.
- [29] B. Sangchoolie, K. Pattabiraman, and J. Karlsson, "An Empirical Study of the Impact of Single and Multiple Bit-Flip Errors in Programs," IEEE Trans. Dependable Secur. Comput., 2020.
- [30] N. Narayanamurthy, K. Pattabiraman, and M. Ripeanu, "Finding Resilience-Friendly Compiler Optimizations Using Meta-Heuristic Search Techniques," Proc. - 2016 12th Eur. Dependable Comput. Conf. EDCC 2016, pp. 1–12, Dec. 2016, doi: 10.1109/EDCC.2016.26.
- [31] S. K. S. Hari, S. V. Adve, and H. Naeimi, "Low-cost program-level detectors for reducing silent data corruptions," Proc. Int. Conf. Dependable Syst. Networks, 2012, doi: 10.1109/DSN.2012.6263960.
- [32] Q. Lu, K. Pattabiraman, M. S. Gupta, and J. A. Rivers, "SDCTune: A model for predicting the SDC proneness of an application for configurable protection," 2014 Int. Conf. Compil. Archit. Synth. Embed. Syst. CASES 2014, Oct. 2014, doi: 10.1145/2656106.2656127.
- [33] Liu, L., Ci, L., Liu, W., Yang, H., 2019, "Identifying SDC-causing Instructions based on Random forests algorithm", KSII Transactions on Internet and Information Systems. Vol. 13.
- [34] N. Yang and Y. Wang, "Identify Silent Data Corruption Vulnerable Instructions Using SVM," IEEE Access, vol. 7, pp. 40210–40219, 2019, doi: 10.1109/ACCESS.2019.2905842.
- [35] N. A. Rink and J. Castrillon, "Trading fault tolerance for performance in AN encoding," ACM Int. Conf. Comput. Front. 2017, CF 2017, pp. 183–190, May 2017, doi: 10.1145/3075564.3075565.
- [36] W. Fang, J. Gu, Z. Yan, and Q. Wang, "SDC Error Detection by Exploring the Importance of Instruction Features," Lect. Notes Comput. Sci. (including Subser. Lect. Notes Artif. Intell. Lect. Notes Bioinformatics), vol. 12937 LNCS, pp. 351–363, 2021, doi: 10.1007/978-3-030-85928-2\_28/COVER.
- [37] C. Liu, J. Gu, Z. Yan, F. Zhuang, and Y. Wang, "SDC-causing Error Detection Based on Lightweight Vulnerability Prediction." PMLR, pp. 1049–1064, Oct. 15, 2019. Accessed: Aug. 22, 2022. [Online]. Available: <https://proceedings.mlr.press/v101/liu19c.html>
- [38] C. Wang, N. Dryden, F. Cappello, and M. Snir, "Neural Network Based Silent Error Detector," Proc. - IEEE Int. Conf. Clust. Archit. News, vol. 38, no. 1, pp. 385–396, Mar. 2010, doi: 10.1145/1735970.1736063.
- [10] S. K. Sastry Hari, R. Venkatagiri, S. V. Adve, and H. Naeimi, "GangES," ACM SIGARCH Comput. Archit. News, vol. 42, no. 3, pp. 61–72, Jun. 2014, doi: 10.1145/2678373.2665685.
- [11] G. Li, Q. Lu, and K. Pattabiraman, "Fine-Grained Characterization of Faults Causing Long Latency Crashes in Programs," Proc. Int. Conf. Dependable Syst. Networks, vol. 2015-September, pp. 450–461, Sep. 2015, doi: 10.1109/DSN.2015.36.
- [12] M. Pal, "M5 model tree for land cover classification," <http://dx.doi.org/10.1080/01431160500256531>, vol. 27, no. 4, pp. 825–831, 2007, doi: 10.1080/01431160500256531.
- [13] A. Adams and L. Sterling, "AI '92," pp. 1–410, Dec. 1992, doi: 10.1142/9789814536271.
- [14] Y. Wang and I. H. Witten, "Induction of model trees for predicting continuous classes," 1996, Accessed: Aug. 22, 2022. [Online]. Available: <https://researchcommons.waikato.ac.nz/handle/10289/1183>
- [15] N. J. Wang, A. Mahesri, and S. J. Patel, "Examining ACE analysis reliability estimates using fault-injection," ACM SIGARCH Comput. Archit. News, vol. 35, no. 2, pp. 460–469, Jun. 2007, doi: 10.1145/1273440.1250719.
- [16] S. S. Mukherjee, J. Emer, and S. K. Reinhardt, "The soft error problem: An architectural perspective," Proc. - Int. Symp. High-Performance Comput. Archit., pp. 243–247, 2005, doi: 10.1109/HPCA.2005.37.
- [17] B. Ghavami and M. Raji, "Soft Error Rate Estimation of VLSI Circuits," Soft Error Reliab. VLSI Circuits, pp. 9–23, 2021, doi: 10.1007/978-3-030-51610-9\_2.
- [18] G. Li, K. Pattabiraman, S. K. S. Hari, M. Sullivan, and T. Tsai, "Modeling Soft-Error propagation in programs," Proc. - 48th Annu. IEEE/IFIP Int. Conf. Dependable Syst. Networks, DSN 2018, pp. 27–38, Jul. 2018, doi: 10.1109/DSN.2018.00016.
- [19] G. Li and K. Pattabiraman, "Modeling Input-Dependent error propagation in programs," Proc. - 48th Annu. IEEE/IFIP Int. Conf. Dependable Syst. Networks, DSN 2018, pp. 279–290, Jul. 2018, doi: 10.1109/DSN.2018.00038.
- [20] J. Ma, Z. Duan, and L. Tang, "A Methodology to Assess Output Vulnerability Factors for Detecting Silent Data Corruption," IEEE Access, vol. 7, pp. 118135–118145, 2019.
- [21] B. Fang, Q. Lu, K. Pattabiraman, M. Ripeanu, and S. Gurumurthi, "EPVF: An enhanced program vulnerability factor methodology for cross-layer resilience analysis," Proc. - 46th Annu. IEEE/IFIP Int. Conf. Dependable Syst. Networks, DSN 2016, pp. 168–179, Sep. 2016, doi: 10.1109/DSN.2016.24.
- [22] A. Thomas and K. Pattabiraman, "Error Detector Placement for Soft Computing Applications," ACM Trans. Embed. Comput. Syst., vol. 15, no. 1, Jan. 2016, doi: 10.1145/2801154.
- [23] X. Wei, R. Zhang, Y. Liu, H. Yue, and J. Tan, "Evaluating the soft error resilience of instructions for GPU applications," Proc. - 22nd IEEE Int. Conf. Comput. Sci. Eng. 17th IEEE Int. Conf. Embed. Ubiquitous Comput. CSE/EUC 2019, pp. 459–464, Aug. 2019, doi: 10.1109/CSE/EUC.2019.00091.
- [24] B. James, H. Quinn, M. Wirthlin, and J. Goeders, "Applying Compiler-Automated Software Fault Tolerance to Multiple Processor Platforms," IEEE Trans.

- [42] A. Banaiyanmofrad, M. Ebrahimi, F. Oboril, M. B. Tahoori, and N. Dutt, "Protecting caches against multi-bit errors using embedded erasure coding," Proc. - 2015 20th IEEE Eur. Test Symp. ETS 2014, Jun. 2015, doi: 10.1109/ETS.2015.7138735.
- [43] M. R. Guthaus, J. S. Ringenberg, D. Ernst, T. M. Austin, T. Mudge, and R. B. Brown, "MiBench: A free, commercially representative embedded benchmark suite," 2001 IEEE Int. Work. Workload Charact. WWC 2001, pp. 3–14, 2001, doi: 10.1109/WWC.2001.990739.
- [44] J. Gu, W. Zheng, Y. Zhuang, and Q. Zhang, "Vulnerability Analysis of Instructions for SDC-Causing Error Detection," IEEE Access, vol. 7, pp. 168885–168898, 2019, doi: 10.1109/ACCESS.2019.2950598..
- Comput. ICCV, vol. 2018-September, pp. 168–178, Oct. 2018, doi: 10.1109/CLUSTER.2018.00035.
- [39] I. Laguna, M. Schulz, D. F. Richards, J. Calhoun, and L. Olson, "Ipas: Intelligent protection against silent output corruption in scientific applications," in 2016 IEEE/ACM International Symposium on Code Generation and Optimization (CGO), 2016, pp. 227–238.
- [40] M. Ebrahimi, P. M. B. Rao, R. Seyyedi, and M. B. Tahoori, "Low-Cost Multiple Bit Upset Correction in SRAM-Based FPGA Configuration Frames," IEEE Trans. Very Large Scale Integr. Syst., vol. 24, no. 3, pp. 932–943, Mar. 2016, doi: 10.1109/TVLSI.2015.2425653.
- [41] E. Frank et al., "Weka-a machine learning workbench for data mining," in Data mining and knowledge discovery handbook, Springer, 2009, pp. 1269–1277.

<sup>20</sup> Application

<sup>21</sup> Performance Overhead

<sup>22</sup> Clock per instruction

<sup>23</sup> Data Duplication

<sup>24</sup> decision tree

<sup>25</sup> classification

<sup>26</sup> regression

<sup>27</sup> branch

<sup>28</sup> Data Mining

<sup>29</sup> Check pointing

<sup>30</sup> Back slice

<sup>31</sup> Random Forest

<sup>32</sup> Identify program vulnerable instructions

<sup>33</sup> Waikato Environment for Knowledge Analysis

<sup>34</sup> cross validation

<sup>35</sup> fold

<sup>36</sup> Mean absolute Error

<sup>37</sup> correlation coefficient

<sup>38</sup> root mean squared error

<sup>1</sup> Reliability

<sup>2</sup> Soft Errors

<sup>3</sup> event Upset

<sup>4</sup> Radiation

<sup>5</sup> Electromagnetic Noise

<sup>6</sup> Power Supply Disturbance (PSO)

<sup>7</sup> Registers

<sup>8</sup> Embedded System

<sup>9</sup> Micro-processor

<sup>10</sup> Control Flow Error

<sup>11</sup> Data Error

<sup>12</sup> Transient Error

<sup>13</sup> Fault Injection

<sup>14</sup> Performance overhead

<sup>15</sup> Event rate

<sup>16</sup> Duplication

<sup>17</sup> resilience

<sup>18</sup> hang

<sup>19</sup> platform